

I-41 平面トラスのはりへの置換

宮地 鉄工所 正員 清水裕樹
日大理工学部交通工学科 正員 川口昌宏

1. まえがき

本研究の目的は、トラスはりが曲げとせん断を受けることによって引き起される変形を考察し、はりの理論との対比により、トラスはりを力学的に等価な、はりに置換しようとするものである。

ここでは平面平行弦トラスはりについて、曲げとせん断による変形が分離できることを確かめ、各々の剛性が等しいはりに置換できることを示す。それでトラス構架の柔軟性を算出したのに活用してみる。

2. トラスの曲げ変形とせん断変形の分離

図-1に示す様な荷重状態のトラスとは、支点A, Bの間では純粹曲げの状態であり、この部分の腹材には軸力は起らない。

A, B間の曲げモーメントは、弦材にのみ軸力を起す。

支点上の垂直柱と張り出し部の腹材に軸力が起る時は、せん断力が存在するからであると考えられる。

(1) 曲げ変形

前述の考察から正の曲げモーメントを受けたトラスノルネルは、図-2(a)に示すように上弦材に圧縮力、下弦材の引張力がかかるので、台形状に変形する。すなわち弦材AC, BDは変形してA'C', B'C'となり、腹材は長さ不变のままそれとA'D', AB', C'D' Yカリ、A'D'を共有した三角形 A'D'C'および A'D'B'で形成する。つまり上、下弦材の断面積の不一致により A'A' ≠ B'B'である。でも腹材は曲げ変形に無関係である。

(2) セン断変形

図-1での考察からトラスのせん断変形は腹材の変形であり、図-2(b)の様に変形すると考える。弦材は回転するのみでせん断変形に無関係である。

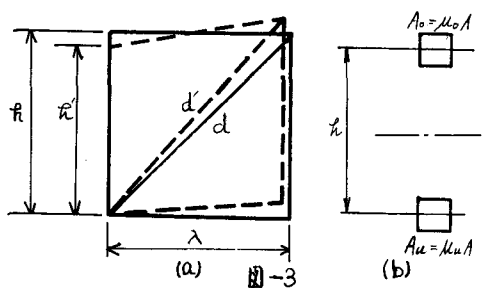
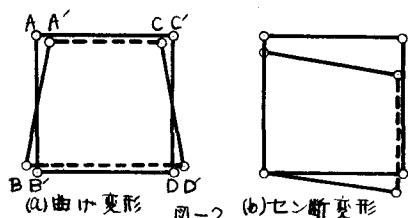
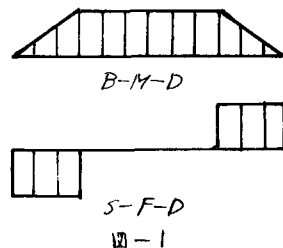
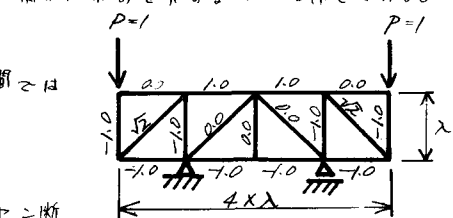
3. トラスの曲げ剛度セん断剛度の説明

2における考察から、トラスはりの曲げ、せん断変形が分離できるからそれそれの剛性も分離可能である。そこでトラスはりを等価な剛性を持つはりに置換する。こつはりを置換はりと呼ぶことにする。

$$(EI)_B = E_T A \cdot \left(\frac{\mu_1 \mu_2}{\mu_1 + \mu_2} \right) \quad (1)$$

E_T : トラス部材の弾性係数, A : 標準断面積

セん断剛度($G A_B$)は、せん断力 Q_x によってノルメルに大きく変わらざる是エネルギー則は



$$W_t = \frac{\theta \lambda^2}{2EI} \left(\frac{R}{A\lambda} + \frac{d^3}{Ad\mu^2} \right) \quad \text{左: セン断係数}$$

$$W_t = W_B \text{ より } \frac{(GA)_B}{R} = \frac{E_A}{(\tan \alpha + \frac{1}{\mu d \sin \alpha \cdot \cos \alpha})} \quad \text{---(2)}$$

4. 数値計算による検討

(1) 刚性マトリックス法による変形の分離解析

曲げ変形 — 腹材のマトリックス要素を標準解析モードルの1000倍に与えて弦材の曲げ変形を計算する。

セン断変形 — 弦材のマトリックス要素を標準解析モードルの1000倍に与えて腹材のセン断変形を計算する。

(2) 数値計算

図-4の様な片持ちトラスはりに以下の様な諸元を与えて、(1),(2)式による剛度を用いて弾性荷重法によって

得た結果とトラスとしての分離解析の結果を図-5に示す。

$$m=10, E_t=20 \times 10^6 \text{ kg/cm}^2, \lambda=R=100 \text{ cm}$$

$$A=50 \text{ cm}, \mu_0=\mu_u=1.0, \mu_d=\mu_{dd}=0.2, \alpha=45^\circ, P=100 \text{ kg}$$

両者の解は各々につきて極めてよく一致し置換はりの剛度がトラスはりの剛性をよくあらわすことで確認した。

5. 置換はりのセン断剛度の性質

(1) セン断剛度 $(GA)_B$ の最大値

(2) 式に $\gamma = \mu_d/\mu_u$ を代入し, $F(d)/(GA)_B$ とすると

$$\gamma \sin \alpha + 3 \sin \alpha - 2 = 0 \quad \text{---(3)}$$

γ を求めると $F(d)$ に最大値を与える d が決まる。

$$\gamma=1 \text{ の時 } \sin \alpha = \frac{d}{R} = \sqrt{3}-1 \quad \therefore d=1.34R$$

これより $\lambda = 0.93R$ で $(GA)_B$ は最大になる。

(2) セン断剛度の曲げ剛度に対する割合

図-6に示す様な単純トラスはり置換はりの最大たわみは

$$S_{max} = \frac{58L^4}{384(EI)_B} \left\{ 1 + \frac{48}{5} \frac{1}{\lambda^2} \frac{R}{(GA)_B} (EI)_B \right\} \quad \text{---(4)}$$

$$\gamma_5 = \frac{48}{5} \frac{1}{\lambda^2} \frac{R}{(GA)_B} (EI)_B \quad \text{---(5)} \quad \therefore \gamma_5 = S_{max}/S_b$$

さらには $\mu_0 = \mu_u, \mu_d = \mu_{dd}$ として最小のセン断変形を与えるため $\lambda = 0.93R$ とする。

μ を 2, 6, 10 へ変化させると図-7の様になる。

6. 考察

不静定トラスはりについては、純粹曲げの考察より $A_0 = A_u$ の時、曲げとセン断変形の分離が可能である。 $A_0 \neq A_u$ の時は曲げモーメントによる腹材にも軸力が入り置換が初等的でなくなる。

参考文献 田口武一『鉄骨トラスの力学』理工図書 "天草五橋工事報告設計編", 日本道路公团

